

87.108
RTC
6

一九五六年全国鐵道科学工作会议
論文報告叢刊
(6)

軸承合金的研究

人民鐵道出版社





一九五六年全国鐵道科学工作会议

論文報告叢刊

(6)

軸承合金的研究

一九五六年全国鐵道科学工作会议論文編審委員會編

人民鐵道出版社出版

(北京市霞公府17号)

北京市書刊出版業營業許可証字第010號

新华書店發行

人民鐵道出版社印刷厂印刷

(北京市建国門外七聖廟)

1957年7月第1版

1957年7月第1版第1次印刷

印数 0001—1,000 册

書号：775 开本：787×1092_{1/16} 印張：1_{3/8} 字數：

統一書號：15043·330 定價：(9) 0.19



前　　言

1956年全国铁道科学工作会议征集了技术报告、总结、论文三百余篇。它的内容，包括铁路业务的各个方面，基本上显示着全体铁路技术人员和有关高等学校教师们几年来在科学技术方面辛勤劳动的成果。对现场实际工作有参考价值，对铁路新技术的采用和发展方向，有启示作用。为此，刊印叢刊，广泛传流，保存这一阶段内的科技文献，以推动科学的研究的进一步开展。

会议以后，我们对全部文件进行一次整编工作，然后组织部内设计总局、工程总局、工厂管理局、人民铁道出版社、车务、商务、机务、车辆、工务、电务各局、铁道科学研究院、北京、唐山铁道学院、同济大学、大桥、定型、电务等设计事务所的有关专业同志对每篇内容仔细斟酌，选择其中对目前铁路业务有广泛交流意义，或是介绍铁路新技术方向、和系统的经验总结，将性质相近的文件合订一册，单独发行。为了避免浪费，凡是其他刊物或是以其他方式刊印过的文件，除特殊必要外，一般都不再刊载。出版顺序根据编辑和定稿的先后，排定叢刊号码，交付印刷，并无主次之分。

苏联铁道科学代表团在会议期间曾经做过九次学术报告，我们已将文字整理，编入了叢刊。

文件中的论点，只代表作者意见，引用或采用时，还应由采用人根据具体情况选择判断。

叢刊方式还是一种尝试，我们缺少经验，希望读者提供意见，逐步的改进。

铁道部技术局

1957年2月

目　　录

铅钙钠轴承合金的初步研究.....	郑中岳 (2)
铅锑锡轴承合金的成份与硬度的关系.....	郑中岳 (9)

鉛鈣鈉軸承合金的初步研究

鄭 中 岳

目 次

- 一、化学成份与金相組織
- 二、性能
- 三、制作方法
- 四、結束語
- 参考文献

一、化学成份与金相組織

鉛基軸承合金分为兩类：一类含有錫銻等，另一类含有鹼金屬（鈉鋰）及鹼土金屬（鈣鋇鎂）等。目前我國鐵路車輛軸承合金成份屬於前一类。后一类在我國尚未見到有人熔制过，但在國外，为了節約錫銻，在本世紀初叶就已經研究成功。現將后一类的几种合金成份列於表 1。

國外鉛鈣鈉类型的合金成份 [1]

表 1

國 名	名 稱 或 牌 號	化學成份 (Pb—其餘 %)						
		Ca	Na	Ba	Li	Sn	Hg	Cu
德 國	Lurgi	0.40	0.30	2.80	/	/	/	/
	Bahn	0.69	0.62	/	0.04	/	/	/
美 國	uLCO	0.43	0.05	1.36	/	0.18	0.24	0.10
	SaTCO	0.60	0.07	/	0.06	2.00	0.25	/
苏 联	EK	0.75~ 1.10	0.65~ 0.95	/	/	/	/	/

德國 Lurgi 合金，1919年即在該國鐵路上使用，由於含有活潑性强的高至 2.8% 的鋇，易引起嚴重腐蝕，乃於第一次世界大戰結束後改用 Bahn 合金 [2]，它的鈣鈉含量比 Lurgi 合金的高，並引入了微量的鋰，與鉛形成固熔體，有利於抗高抗蝕能力 [1]。美國 uLCO 合金，1915年起由 Frary Tempels 及 De Campi 等研究發展起來的 [3]，它除了成份較複雜外，和德國 Lurgi 合金及 Bahn 合金一樣，存在着重熔時燒損大，與瓦背緊貼能力弱，對有害雜質敏感等重大缺點，因此，在1929年以後，美國一些鐵路改用 SaTCO 合

金，据文献简略报导，新合金有利於克服上述缺点[3] [4]。苏联BK合金，系A·M·Бочвар、A·A·Бочвар、B·Н·Вазингер等在冶金研究所研究成功的，1931年起一直到現在，仍在苏联铁路上广泛使用，这种合金除了成份简单，价格便宜，易于制作外，并在实地装车試驗的基础上运用統計檢查法确定了最适当的鈣鈉成份范围，避免了由於鈉含量过高或过低影响到疲劳强度及抵抗脆裂的能力以致易于产生裂纹及剥落現象，同时也避免了由於鈣鈉含量过低影响到抵抗蠕变的能力以至易于产生硬出現象[5]。我們这次制作的鉛鈣鈉軸承合金成份，其化学分析結果是Ca—0.72%、Na—0.5%，Pb—98.78%与苏联BK合金及德国Bahn合金相接近。

为了了解鉛鈣鈉軸承合金的金相組織，可以根据鈣鈉的一定含量，考慮鉛鈣二元平衡圖（圖1）及鉛鈉二元平衡圖（圖2）。

由圖1可見，鉛与大量鈣形成硬脆的 Pb_3Ca ，成为軸承合金的硬質点；少量鈣与鉛形成固熔体，包晶温度时，鈣熔於鉛中为0.1%，0°C时減至0.02%以下。由圖2可見，鉛与鈉形成較純鉛为硬的 α 相固熔体，成为軸承合金的軟基体；鈉熔於鉛中的量，共晶温度时高至1.9%，0°C时低至0.4%。綜合考慮这两个二元平衡圖，可以了解到鉛鈣鈉三元合金的金相組織是由硬質点 Pb_3Ca 嵌入在鉛鈉固熔体的軟基体上所組成的。圖3是我们制作的鉛鈣鈉合金的金相組織，黑色樹枝狀組織为硬質点 Pb_3Ca 。軟基体为鉛鈉固熔体。这种組織，与巴比特合金的組織一样都符合於夏甫法則，即良好的軸承合金大都具有硬質点均匀分佈在軟基体上的多相組織。另外，从平衡圖中可以了解到由於鈉鈣在鉛中熔解度随温度降低而降低，它可引起时效硬化現象。

为了与鉛鈣鈉合金進行比較，我們熔制了目前我国鐵路車輛軸承合金中南№.8，其化学成份 Pb—80%、Sb—15%、Sn—5%，与美國ASTM8号合金成份一致，其金相組織如圖4所示，白色方塊为硬質点B相 ($SbSn$)，基体为共晶体 ($\alpha + B + \delta$) [6]。

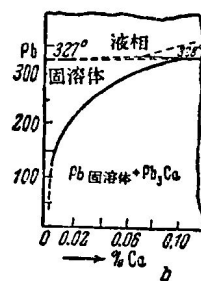


圖1 鉛鈣平衡圖之一角

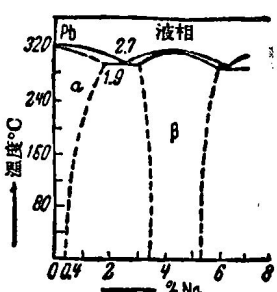


圖2 鉛鈉平衡圖之一角

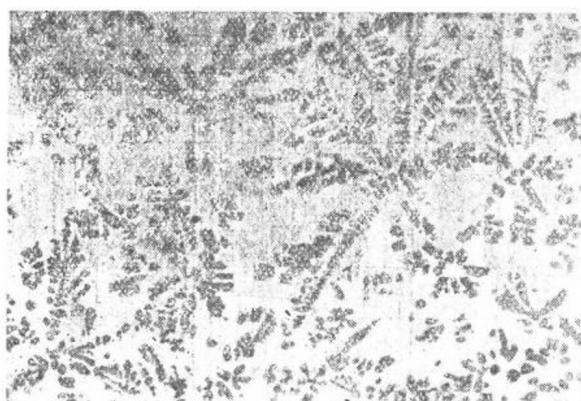


圖3 鉛鈣鈉軸承合金。100×。腐蝕剂：5%硝酸溶液



圖 4 鉛鎘錫軸承合金。500×。腐蝕劑：5%硝酸銀溶液

二、性 能

合金的性能取決於它的成份與組織。我們熔制的鉛鈣鈉合金及鉛鎘錫合金，其成份與組織已如上節所述，現將我們作的某些性能比較試驗結果列於表 2。

鉛鈣鈉合金及鉛鎘錫合金性能比較表

表 2

合金名称 項 目		鉛鈣鈉合金	鉛鎘錫合金 中南 №.8	附 註
熔 点 °C	上	405	271	使用了電位計、電壓穩定器、冷端恒溫器等設備進行熱分析。
	下	314	236	
拉力强度（鑄态） 公斤/公厘 ²		10.28	6.03	雖軸承合金不承受拉力，但此數據有助於了解疲勞強度及提供延伸數據。
延伸（鑄 态）%		3.70	1.18	此數據有助於了解減磨性。延伸大的合金能緩和軸的彎曲，使軸承與軸頸易吻合。
抗压强度（鑄态） 公斤/公厘 ²		17.82	9.93	試樣直徑為10公厘，高為20公厘，以試樣壓至18.73公厘時的壓力計算。
冲击韧性（鑄态） 公斤公尺/公厘 ²		0.80	0.12	試樣尺寸為55×10×10，系無缺口的。
硬 度 H_{v} 10/250/60	室溫	31.2	20.3	熱態硬度試驗系在特制的小電爐內加熱，溫度測量應用放大了電勢的熱電堆。
	125°C	21.1	8.0	
綫膨脹系數×10 ⁶ 20~150°C		33.1	27.0	在德國 HTV 型式的光學膨脹儀上測定。
抗 蝕 性 克/公分 ² × 10 ³		10	1	A 試樣尺寸為35×15×5，浸入含硫酸5%的車軸油內，在165°C 維持3小時，稱量並計算每平方公分損失克數。B. 鉛鈣鈉合金在空氣中擱久，表面即腐蝕成氫氧化合物。
摩 擦 系 数	油摩	0.015	0.009	在AMsler摩擦磨耗試驗機上進行試驗。圓軸系中炭鋼，直徑為40公厘。合金樣品的寬度為10公厘，弦長為25公厘。荷重均為28公斤。油摩系用夏軸油，轉數為5萬。油摩後即進行干摩試驗，轉數為2萬。
	干摩	0.89	0.27	
摩耗量(克)	油摩	0.0049	0.0041	
	干摩	3.6488	0.0986	

由表 2 可見，鉛鈣鈉合金的优点如下：

1. 有較高的起始熔化温度 (314°C)。比車軸油的閃点高。因此，它能安全地承受由於軸端高压点，軸頸表面不良，軸承与軸頸吻合不好及油潤缺乏时所引起的过热現象。
2. 除了室温时抗压强度高外，在 125°C 时(通常鐵路車輛軸承工作温度为 $60\sim 80^{\circ}\text{C}$ ，个别数据高至 115°C [7])，仍有較高的硬度，不会由於合金在較高的工作温度时变軟引起扭曲咬結因而增加摩擦燒毀軸承。
3. 在高的拉力强度下仍有良好的延伸性，可能使軸承与軸頸易於吻合，对減摩有利。
4. 有較高的冲击韌性，这对鐵路車輛軸承較重要，因为車輛每行驶到鋼軌接縫处週期性承受冲击負荷，合金需具有較高的抵抗脆裂的能力。

同时，由表 2 可見，鉛鈣鈉合金的缺点如下：

1. 它的綫膨脹系数大，使瓦背与合金之間的热应力大，使彼此緊貼不好，能促使合金的疲劳裂紋的产生与扩展，因此，通常需要在瓦背上机械加工成槽形以增强緊貼能力。
2. 它的抗蝕性低，这不僅損失金屬，还由於合金表面可能形成細坑，除了损坏合金的減摩性外，还能成为应力集中的地方，疲劳裂紋很容易在这里產生。
3. 干磨时，它的摩擦系数及磨耗量急增，因此，需經常注意保持良好的潤滑状态。

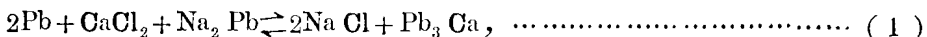
在这里，需要特別提出的，由下節叙述的制作方法及有关文献記載，可以知道鉛鈣鈉合金还有下列缺点：

1. 制作及重复熔化合金时，由於鈣鈉活潑性强及合金澆鑄温度高，鈣鈉極易氧化燒損。它不但引起經常校正成份的麻煩，而且引起金屬損失。因此，需要細心熟練掌握操作过程，否則合金質量不易达到标准。
2. 对有害雜質較敏感。当合金中混入微量的錫砷銻时，硬質点 Pb_3Ca 即遭到破坏，而形成 Ca_3Sb_2 、 Ca_3As_2 、 Bi_3Ca 。
3. 它的收縮为 0.75% ，比一般巴比特合金的 (0.5%)大。因此，澆鑄时应注意填滿，以免產生大的縮孔 [8]。

为了克服鉛鈣鈉合金的重大缺点，需要進一步研究某些元素对合金性能的影响。錫在國外一些國家系稀缺元素，但我國有相当的產量，因此，可以考慮利用少量的錫作为合金元素加入剂，研究它对減少氧化燒損，增强緊貼能力，及減弱对有害雜質敏感等方面的影响，另外，也可以研究錫对提高抗蝕能力的影响 [9]。以上这些都有待今后作試驗，才能找出結合我國資源情況的令人滿意的合金成份范围。

三、 制作方法

鉛鈣二元合金的制作，通常採用化学法 [2]。它的基本原理是鈉或鉛还原鈣的化合物。用鈉还原的，称为氯化物法。如方程式 (1) 所示



用鉛还原的，称为碳化物法。如方程式 (2) 所示，



氯化物法应用了价廉的 CaCl_2 ，但需加入熔点低至 97.7°C 的極易氧化燒損的金屬鈉。炭化物法由於 CaC_2 在空气中加热極易燒損，需配制被复剂保护或創立不含氮的（因氮易与 Ca 反应）还原性的炉气。我們這次熔制的是三元合金，採用氯化物法是考慮到加入適當多的鈉，除了还原 CaCl_2 形成 Pb_3Ca 硬質点外，还有剩余的則熔在鉛中成为較純鉛为硬的軟基体。我們共熔制 8 炉，現將熔制工藝叙述於下：

1. 熔化設備：碳矽棒電爐（或焦炭爐）及三個鑄鐵鍋。（不用石墨坩埚以免碳与鈣化合）。

2. 測溫設備：鉻合金——鋁合金熱電偶及毫伏計式溫度指示器。

3. 配料[10]：鉛93%，脫水氯化鈣1.9%，金屬鈉2.1%。

4. 熔制程序：

① 脫水氯化鈣裝入第一个鐵鍋內，加热至 800°C ，变成熔融状态。

② 擦干的金屬鈉裝入第二个鐵鍋內。

③ 第三个鐵鍋裝鉛，加热至 400°C 。

④ 將第三个鐵鍋的熔鉛（ 400°C ）倒入盛有金屬鈉的第二个鐵鍋內形成鉛鈉合金。

⑤ 立即將第二个鐵鍋內的鉛鈉合金倒入盛有 CaCl_2 （ 800°C ）的第一个鐵鍋內，並用鐵棍小心攪动。

⑥ 黑色熔塩（ $\text{NaCl}-\text{CaCl}_2$ ）浮上及合金溫度為 600°C 時，將熔塩抓出。在 550°C — 600°C 時將合金澆鑄到鐵模（ 250°C ）內自然冷却。

5. 檢驗：

① 外觀檢查：鉛錫錫合金為白色，鉛鈣鈉合金較黑。

② 硬度試驗（10/500/60）：由於合金有时效硬化作用，硬度隨時間延長而增加。澆鑄後2~3小時， H_s 不應低於20，一天後，不應低於26[10]。

③ 化學成份與硬度關係，可根據下式近似計算[5]：

$$H_s = 21.135 \text{Ca} + 14.218; \quad \dots \dots \dots \quad (1)$$

$$H_s = 22.248 \text{Na} + 12.838. \quad \dots \dots \dots \quad (2)$$

6. 合金重複熔化供掛瓦用時，為了減少氧化燒損，需注意下列幾點：

(1) 鐵鍋最好作成圓而深的，以減少合金與空氣接觸面。

(2) 鐵鍋裝載合金量最好與掛瓦需要量一致，以免多次熔化燒損。

(3) 預熱至 $120\sim 150^\circ\text{C}$ 的合金裝入預熱至暗紅色的鐵鍋內，以縮短熔化時間。

(4) 鐵鍋供熔化用，也供澆鑄用，以免用勺取出合金再澆鑄時增加燒損。

(5) 熔化前，在合金面上鋪一層鹽或5~6公厘大小的木炭。

(6) 熔化溫度不要超過 600°C ，否則合金表面易生成黃色氧化物。

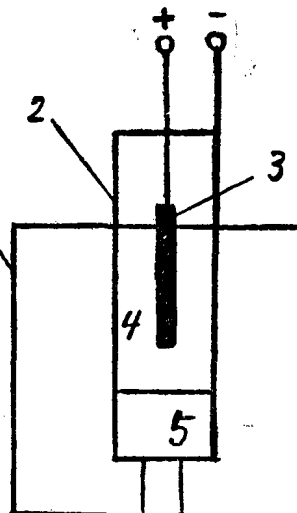


圖 5 电解氯化鈉制作
鉛鈉合金示意圖：
1——電爐； 2——鐵鍋；
3——炭精棒；4——食塩；5——熔鉛。

(7) 熔化后立即熔铸，如停留时间过长，往往使钠钙烧损大。

(8) 浇铸温度一般为 550°C 左右。浇铸时，除了应不间断地均匀地流出合金外，铁锅尖端应接近模具，以缩短合金经过空气层的距离，否则合金氧化膜增多，更不利于合金与瓦背之间的紧贴。

上述氯化物法应用了金属钠制得铅钠合金，如果采用电解氯化钠法，亦可制得。图5是电解法示意图。现将我们在实验室作的方法与数据叙述如下，仅作为进一步试验的初步基础。

1. 設備：

- (1) 碳砂棒电炉一个，并附有温度自动控制设备。
- (2) 整流器一个，直流电压6~65伏，直流电流15安。
- (3) 圆而深的铁锅一个。

2. 陽極：石墨碳精棒。其尺寸为 $350 \times 33 \times 23$ 公厘。

陰極：熔铅，铁锅及焊在铁锅上的铜板。

电解質：100% 氯化钠，熔点为 810°C ，也可加入一些 CaCl_2 ，以降低熔点。

3. 操作程序：

- (1) 先将铅及食盐顺次装入铁锅内。我们每次用了2公斤铅，3公斤食盐。
- (2) 将石墨碳精棒插入盐内，其深度为182公厘。
- (3) 将铁锅放入电炉内加热，在电解过程中，始终维持铁锅外部温度为 800°C 。
- (4) 等食盐熔化后，将石墨碳精棒接上整流器阳极，将焊接在铁锅上的铜板接上阴极。

(5) 通电后，维持电流8~12安，电流大小可以上下移动阳极控制（在电解过程中，氯气逸出，而钠进入铅内。由于在接触熔盐部份的铁锅四周围结成硬的盐壳绝缘，不致于产生严重的短路，更有利电解钠进入铅内）。

(6) 电解12小时后，倒出熔渣，再倒出合金至 250°C 的铁模内自然冷却。

(7) 檢驗：按照上述实验結果，铅钠合金的布氏硬度为14.1，含钠量为0.47%为了制作铅钙钠三元合金，这种铅钠合金的含钠量还不够，因此，今后須增加电解时间提高电流效率选择适当电流密度等以达到高至2.1%的含钠量。

四、結束語

本文对铅中加鹼金屬及鹼土金屬的几种合金成份作了初步的評述；对它的組織作了金相方面的定性觀察；对它的某些性能与我國铁路正在使用的铅鎘錫合金作了比較試驗，从而了解了它的一些优缺点；对它的制作方法进行了接近工業生產的氯化物化学法的試驗，並对电解法制作铅钠二元合金作了实验室的嘗試；至於它在我國铁路应用范围問題，虽然國際联运通車，苏联、东德等國铁路上大量使用这类合金，我們有必要了解它的性能及制作方法；甚至，个别單位也可能需要熔制一些（除車輛段外机車搖連干銅套也可能需要掛 $\text{Pb}-\text{Ca}-\text{Na}$ 合金），但普遍推廣应用，则需要考慮到我國的資源情况及这类合金的某些嚴重缺点，因此，本文对这个問題沒有下最后的定論。

由於我國机車車輛載重和速度都日益增加，滾珠軸承還不能立刻普遍应用，因此，提

高滑动軸承合金的 PV (容許压力与容許速度的乘積)数值的研究工作，在一定時間內，仍將引人注意。本文所提出的，只是这方面工作的开始，但它有助于進一步研究改善鉛鈣鈉合金的質量(如錫鎂对合金性能的影响，)或有助於結合我國資源情況尋找新的合金成份(如加鉛对含錫高的鉛基合金的影响。)

〔朱德財、張志田、王会永三位同志參加試驗工作〕。

参 考 文 献

- [1] Энциклопедический справочник «Машиностроение», Т 4, МАШГИЗ, 1947
- [2] C. L. Mantell & C. Hardy, Calcium metallurgy and technology. p 78~86, 1945
- [3] R.J. Shoemaker, Discussion on bearing metals. Symposium on effect of temperature on metals. p 334, 1931
- [4] A S M Metals Handbook, p 1553, 1939
- [5] Исследование сплавов цветных металлов, сборник 1. стр 12 и стр 88, 1955
- [6] F.D. Weaver, Type metal alloys. Journ. Inst. Met. Vol 56, p 209, 1935
- [7] J.N. Bradley & H. O'Neill. Railway bearing metals: Their control and recovery. Journ. Inst. Met. Vol 68, p 259, 1942
- [8] В. А. Буталов. З менители дефицитных металлов и сплавов. стр 156, 1955
- [9] Экономия и замена цветных металлов. стр 7, 1953
- [10] В. К. Петриченко, Антифрикционные материалы и подшипники скольжения. стр 84, 1954

鉛錫錫軸承合金的成份与硬度的关系

郑 中 岳

目 次

- 一、問題的提出
- 二、實驗方法与数据
- 三、實驗数据的相关分析
- 四、討論
- 参考文献

一、問題的提出

目前我国鐵路車輛軸承合金的化学成份为80%鉛、15%錫、5%錫，代号为中南№8。由於重复熔化及澆鑄，合金成份不免發生变动，因而对使用性能有一定的影响 [参1]。如含錫量超过15%，合金易脆裂 [参2]；如錫錫含量过低，合金变軟，易变形及輾出；如含錫量过高，並且超过含錫量时，下熔点將由240°C降至180°C，当合金过热时易發生重熔燒損事故 [参3]。总之車輛軸承的使用性能与合金的化学成份有关，控制成份在一定的范围是必要的。

根据化学分析的結果进行配料是控制成份的常用的精确方法，但它比較复杂及費时，現場（主要指車輛段）往往不易作到。因此，寻找一个簡單快速的控制方法，是現場所需要的。

大家都知道，硬度試驗是一个簡單快速的試驗方法，这是因为它的設備簡單，操作容易，不需要制备复杂的标准試样，且能在極短時間內就能得出試驗結果，如果合金的成份与硬度存在着一定的关系，同时考慮到合金成份在一定的范围波动，那末通过硬度試驗数据就有可能推算出合金的成份，那末硬度試驗方法就有可能成为本文所期望的一个簡單快速的控制方法。

關於鉛錫錫合金的成份与硬度的关系，Weaver 曾比較詳細地研究过[参4]，並繪制了等硬度曲綫圖，如圖 1 所示，大致表明了当含錫量一定，並且大于14%时，硬度值随着含錫量增加而增加。利用圖 1，可以根据成份大致确定硬度，例如中南 №8 合金，其硬度約在 20~24 之間。但不能利用圖 1 根据硬度确定成份，因圖上每一条等硬度曲綫包括一系列的不同成份。曾有人提出，除了利用等硬度曲綫圖外，还利用上熔点等温曲綫（圖2），即可根据二个曲綫的交点确定合金的成份 [参5]。例如已知某合金的硬度为20，上熔点为

270°C，可从二个曲綫的交点确定它的成份大致为 80% Pb、15% Sb、5% Sn。但利用热分析法测定熔点也是比較复杂及費时的，不是現場易于做到的。由以上所述可見，过去關於合金成份与硬度的关系的研究工作，虽对我們有些帮助，但沒有解决我們所希望解决的問題，即借助硬度試驗数据确定軸承合金的化学成份。因此，我們不得不对这个問題繼續进行研究，企圖在选择比較合适的成份范围的基础上利用相关分析写出回归方程式，近似地根据硬度值推算出合金的化学成份。另外，我們也需要根据我国工業純的原料掌握精确

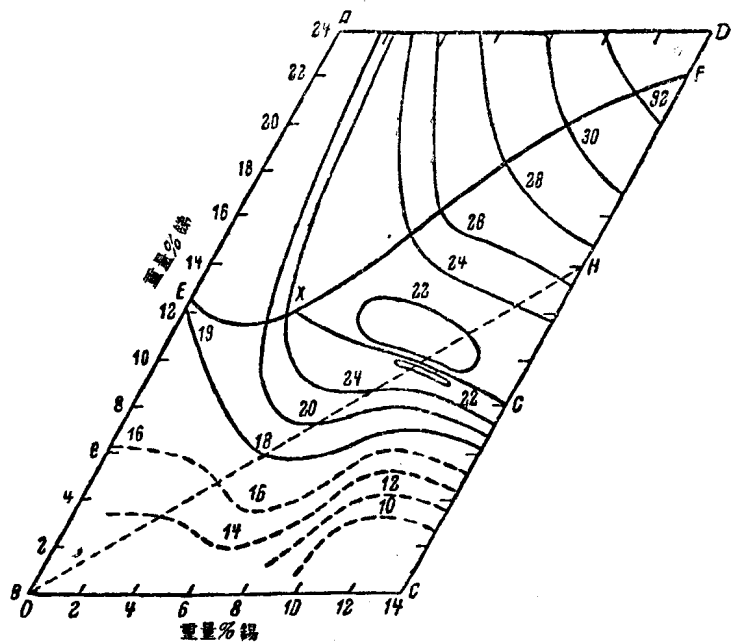


圖 1 等硬度 (H_B) 曲綫圖

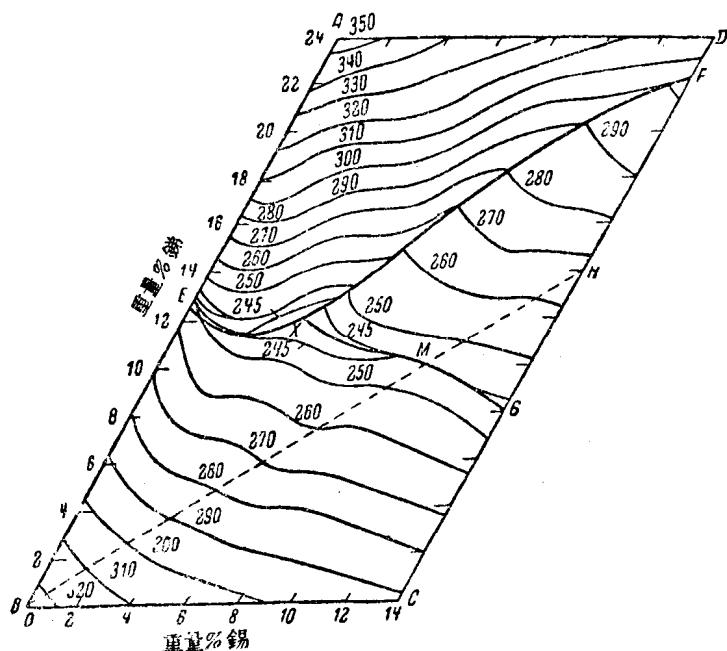


圖 2 上熔点等温曲綫圖

度高的硬度試驗方法及選擇有利的試驗條件等作出硬度試驗數據，而這些數據與過去一些人作的，由於試驗情況不同，會有些偏離的。

二、實驗方法與數據

選擇供試驗用的合金成份範圍，是在 Pb-Sb-Sn 三元平衡圖的濃度三角形中，圍繞中南 N₈ 合金成份所作的平行四邊形內。在這個平行四邊形內（如圖 3 所示），一共熔配了 65 種不同成份的合金，錫含量波動在 2% 至 13%，錫含量波動在 11% 至 22%。選擇這麼多的不同成份的合金，不僅考慮到中南 N₈ 合金中 Sb、Sn 含量同時氧化燒損及長期累積所引起的成份波動範圍，也考慮到個別現場由於混入其他牌號合金（例如混入中南 N₇ 合金）等原因所引起的成份波動較大的個別情況，同時也將現場收回的少量合金進行化學分析作為參考。

為了符合現場目前使用情況，均採用工業純的原材料供作試驗，其中鉛的純度在 98.76% 以上，錫的純度在 99.90% 以上，錫的純度在 99.90% 以上。

所有合金都在碳礮棒電爐鐵鍋內熔化。在 700°C 熔化錫及 50% 的鉛後，停止加熱，依次加入剩下的鉛及錫，小心攪拌冷至 400°C，即澆鑄至長方形冷鐵模內，試樣尺寸為 120 × 25 × 15 公厘。在熔化過程中，為了避免氧化燒損，金屬上面鋪有一層木炭末。合金熔化後，經過化學分析核對配料成份。

硬度試驗系在槓桿式布氏硬度機（KPE3000 式）上進行。鋼球直徑（D）為 10 公厘。壓入負荷（P）為 250 公斤（在 10 秒內平穩增至該數值）。由於合金再結晶溫度低，當短時間維持負荷時仍急劇產生塑性形變，維持時間須控制在 60 秒。試驗溫度為室溫 25°C。合金的壓痕直徑（d）最大為 4.35 公厘，最小為 3.42 公厘，都大於 0.2D，都小於 0.6D。這樣，使不同合金的硬度值，可以在允許誤差範圍內彼此進行比較。所有壓痕深度都小於試樣厚度（a）15 公厘的十分之一，即 $\frac{a}{10} \geq \frac{P}{\pi D H_B}$ ，使壓痕形狀及大小不致受到堅硬的底板的影響。試樣底部磨平，以便平穩安放；試樣表面（與鐵模底壁接觸的平面）磨成光滑面，以便清晰觀察壓痕直徑。用放大鏡測量壓痕直徑的誤差為 ±0.05 公厘。每個壓痕直徑，取互相垂直的兩個壓痕直徑的平均值，但這兩個壓痕直徑不能相差 2%，否則壓痕形狀及大小被認為有可能遭到破壞。每個試樣上至少測量二個以上的壓痕直徑，並取其平均值為 d；同一試樣上 H_B 之差很少超過 1，否則合金組織的均勻性被認為有可能遭到破壞。每個壓痕中心距試樣邊緣的距離 b 應大於鋼球直徑 D（b ≥ D），兩個壓痕中心彼此之間距離 c 應大於鋼球直徑的兩倍（c ≥ 2D），以避免壓痕形狀及大小受到外來的影響。根據

$$\text{壓痕直徑 } d \text{ 可按下式求出 } H_B, \text{ 即 } H_B = \frac{P}{\pi D \left(\frac{D}{2} - \sqrt{\frac{D^2}{4} - \frac{d^2}{4}} \right)} \text{ (公斤/公厘}^2\text{), 或由表格}$$

找出 d 與 H_B 之間的關係。選擇了 31 種不同成份合金的硬度值列于表 1。

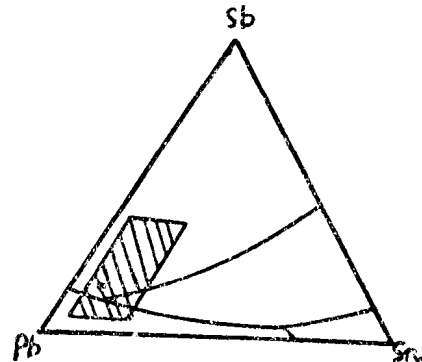


圖 3 成份範圍的選擇示意圖

不同成份合金的硬度值

表 1

順序号	化学成份(重量百分数)		硬度 $H_B 10/250/50$
	Sb (%)	Sn (%)	
1	21.53	5.29	23.3
2	22.00	8.00	25.2
3	20	4	21.8
4	20	6	23.5
5	20	8	24.5
6	17.65	3.65	20.1
7	18	6	21.2
8	18	8	23.3
9	17	4	21.0
10	17.73	8	22.4
11	16.28	2.84	19.6
12	15	2	19.0
13	15.61	6	21.8
14	15	8	21.8
15	14	2	16.6
16	14	4	18.1
17	12	2	16.0
18	12	4	17.8
19	17	10	22.4
20	17	12	24.8
21	19	3	19.1
22	19	9	22.8
23	12	3	16.6
24	21	13	26.4
25	15	5	19.6
26	15	10	21.8
27	15	12	23.7
28	14	8	21.2
29	15.07	5.07	19.6
30	22	4	23.1
31	11	6	18.6

三、实验数据的相关分析

本文根据中南№8 合金重复熔化及浇铸时 Sb 及 Sn 可能同时烧损的规律等情况选择了上节列出的成份范围去研究它与硬度之间的关系。现在可进一步从图1、图3 及表1 見到，本文所研究的 Sb 及 Sn 含量的变化一般說对硬度有影响，即它们之間存在着关系，換句話說，Sb 及 Sn 含量的变化范围及趋势，不是与等硬度曲线平行，而是横切好几条等硬度曲线，也可以说，在这个成份变化范围内，含 Sb 量一定时，硬度随含 Sn 增加而增加，含 Sn 量

一定时，硬度随含 Sb 量增加而增加，Sb 及 Sn 含量同时增加时，硬度也随着增加。但应指出，合金的成份与硬度之间的关系，不像函数关系那样反映着彼此之间的严格依存性，而是一种相关关系，或称统计关系，反映着一个相关因素的每一个数值，可以有几个数值与之相当，这些数值是分散在它们平均数的周围的。既已了解是相关关系，随后就要进行相关分析，一方面要以数学式来反映 Sn 及 Sb 含量与硬度之间的联系形式，另一方面也要确定这种联系的密切程度以估计这个数学式的价值与准确程度。如果这三个变数之间的联系是最简单的三元一次相关，即具有直线回归方程式的形式， $z = ax + by + c$ 。那末就可以利用最小二乘方原理求出系数 $a b c$ ，使试验数据点对回归平面 $z = ax + by + c$ 沿 z 轴方向的偏差平方和 $S = \sum [z - (ax + by + c)]^2$ 为最小。但因为直线回归方程式 $z = ax + by + c$ 只表示了三变数间的平均关系，故其价值以试验数据点在回归平面 $z = ax + by + c$ 两边之疏散程度而定。为了确定这种疏散程度，也就是确定联系的密切程度，可引用复相关系数 R 来度量，当 $R=1$ ，即 $S=0$ 时，变数 z 与 x 及 y 间有函数性的联系，即一切试验数据点都落在回归平面 $z = ax + by + c$ 的上面，当 $R=0$ 时，变数 z 对 x 及 y 之间没有直线相关，但非直线相关还是可能存在的。

进行相关分析，须首先选择 Sb 及 Sn 含量与硬度的联系形式。为此，应该预先对成份与性能的关系从金属学观点作理论上的分析，一方面确定它是正联系或是负联系，另一方面确定 $z = f(x, y)$ 的形状是多元多次相关的曲面形状或是多元一次相关的平面形状。在本文所研究的合金成份的范围内，其金相组织，由 Pb-Sb-Sn 平衡图[参6]可见，均系多相机械混合物。

区域 1 为少量锡溶在锑中的固熔体 (r) 及二元共晶体 ($Pb+r$)；区域 2 为 Pb 及二元共晶体 ($Pb+r$)；区域 3 为 r ，二元共晶体 ($Pb+r$) 及三元共晶体 ($r+SnSb+Pb$)；区域 4 为 Pb ，二元共晶体 ($Pb+r$) 及三元共晶体 ($Pb+SbSn+r$)；区域 4' 为 Pb ，二元共晶体 ($Pb+SbSn$) 及三元共晶体 ($Pb+SnSb+r$)；区域 5 为 $SbSn$ 及三元共晶体 ($Pb+SnSb+r$)；区域 5' 为 $SbSn$ ，二元共晶体 ($Pb+SbSn$) 及三元共晶体 ($Pb+SbSn+r$)。以上七个区域也可以说是是在 $Pb-Sb$

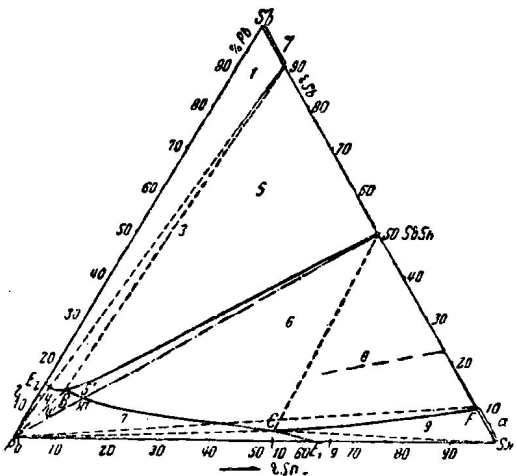


圖 4 Pb-Sb-Sn 平衡圖



圖 5 化學成份 22% Sb, 8% Sn。冷模。
×250。5% 硝酸銀腐蝕。白色不規則方塊系 r 包晶轉變產物 $SbSn$ 。基體為共晶體 ($Pb+r+SnSb+r$)

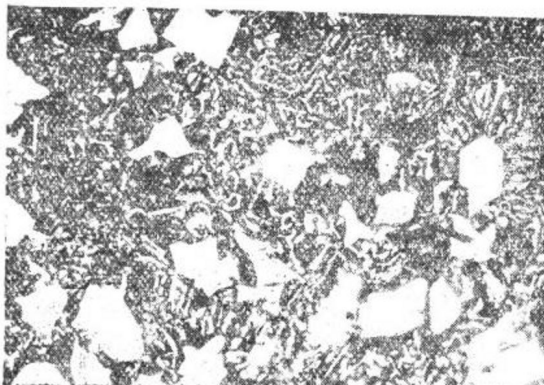


圖 6 化學成份 18% Sb, 6% Sn。冷模。
 $\times 250$ 。5% 硝酸銀腐蝕。白色不規
則方塊系 r 相轉變產物 SbSn。
基體為共晶體 (Pb + Sb Sn + r)

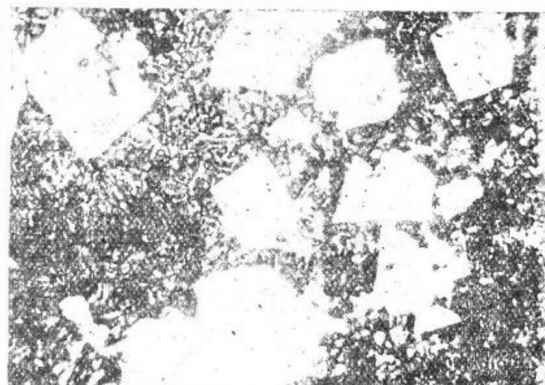


圖 7 化學成份 17% Sb, 12% Sn, 冷模。
 $\times 250$ 。5% 硝酸銀腐蝕。白色方塊
為初晶 SnSb。基體為共晶體
(Pb + Sb Sn + r)



圖 8 化學成份 17% Sb, 10% Sn。冷模。
 $\times 250$ 。5% 硝酸銀腐蝕。白色方塊
為初晶 SnSb。基體為共晶體
(Pb + SnSb + r)



圖 9 化學成份 15% Sb, 5% Sn。冷模。
 $\times 500$ 。5% 硝酸銀腐蝕。白色方塊
為 SnSb。基體為共晶體
(Pb + SnSb + r)

—SbSn濃度三角形之內。圖5、圖6、圖7、圖8、圖9 是我們熔配的不同成份合金的鑄態金相組織。大致而言上述相應區域應具有的組織。從以上所述可見，隨着成份的改變，組織狀態也發生變化，或者由某一區域轉入另一區域，或者在同一區域內相組成物彼此含量發生變化。更明確地說，隨着 Sb 及 Sn 含量的增加，SnSb 相及 r 相的數量也增加。而各相組成物的硬度，根據 Weaver 擦痕硬度試驗結果 [參7]，SbSn 相為 280 公斤/平方毫米，r 相為 200 公斤/平方毫米，Pb 為 44 公斤/平方毫米，以 SbSn 相為最硬，其次為 r (另外，我們自己曾作過中南 No.8 合金的顯微硬度試驗，施加負荷為 20 克，維持時間為 5 秒，發現硬相的硬度為 136.2 公斤/平方毫米，基體的硬度為 12.6 公斤/公厘²)。由此可見，隨着 SbSn 相及 r 相的數量的增加，將引起合金硬度的增加，這是因為合金的硬度是它對硬的壓頭的抗力，即合金對塑性形變的抗力，抗力大，硬度就高，但抗力大小與內摩擦力的大小成正比，而合金的內摩擦力隨着硬的相組成物在較軟的塑性基體上的增加而增大，因此，在室溫時，由於 Sb 及 Sn 含量的增加，硬脆的 SnSb 相及 r 相也增加，結果是硬度值也增加，換句話說，合金的 Sb 及 Sn 含量與硬度之間存在着正聯繫。以上分析也為圖 1、表 1 的試驗資料所証

实。至於这三个变数之間是否直線相关的問題，大家都知道，由兩相机械混合物組成的合金，其成份与硬度之間存在着直線关系，如圖10所示，同样，可以預期到由多相机械混合物組成的合金，在組織与硬度或成份与硬度之間在一定条件下也近似地呈現着直線关系，这是因为多相机械混合物的性質也是各相組成物性質的平均值，但应指出，它的性質也与各相組成物的形狀大小及分佈有关，直線相关的形式可能由於形成共晶組織的某些特殊条件（如形成細晶粒等）而遭到破坏，如圖10虛線所示。同时这种形式与选择合金成份的表示方法有关，一般說，以原子百分数表示成份时，硬度与成份之間成近似的直線关系[参8]。

我們选择 Sb 及 Sn 含量与硬度之間的联系形式为三元一次正相关，并以 $z = ax + by + c$ 来代表，就是基於以上的一些設想。現在，就利用最小二乘方的原理求出系数 a 、 b 、 c 。

为了使 $S = \sum m [z - (ax + by + c)]^2$ 为最小 (m =頻率)，須令 S 对各參变数的偏导数各等於零：

$$\frac{\partial S}{\partial c} = -2 \sum m [z - (ax + by + c)] = 0 ;$$

$$\frac{\partial S}{\partial a} = -2 \sum m [z - (ax + by + c)] x = 0 ;$$

$$\frac{\partial S}{\partial b} = -2 \sum m [z - (ax + by + c)] y = 0 .$$

由此得 a 、 b 、 c 的方程式如下：

$$c \sum m + a \sum mx + b \sum my = \sum mz ; \quad (1)$$

$$c \sum mx + a \sum mx^2 + b \sum mxy = \sum mxz ; \quad (2)$$

$$c \sum my + a \sum mxy + b \sum my^2 = \sum myz . \quad (3)$$

因 $\bar{x} = \frac{\sum mx}{\sum m} ; \quad \bar{y} = \frac{\sum my}{\sum m} ; \quad \bar{z} = \frac{\sum mz}{\sum m} .$

方程式 (1) 可写成

$$c = \bar{z} - a \bar{x} - b \bar{y} . \quad (4)$$

將方程式 (4) 代入 $z = ax + by + c$ 后，得到下式：

$$z = \bar{z} + a(x - \bar{x}) + b(y - \bar{y}) . \quad (5)$$

为了求方程式 (5) 的系数 a 、 b ，可以引入 $\delta_x = x - \bar{x}$ 、 $\delta_y = y - \bar{y}$ 、 $\delta_z = z - \bar{z}$ 及 x 与 z 间、 y 与 z 间的一次相关系数[参9]

$$r_{xy} = \frac{\sum m \delta_x \delta_y}{N B_x B_y} ; \quad r_{yz} = \frac{\sum m \delta_y \delta_z}{N B_y B_z} ; \quad r_{xz} = \frac{\sum m \delta_x \delta_z}{N B_x B_z} .$$

此处 $N = \sum m$ ， B = 标准差（中誤差） $(B_x = \sqrt{\frac{\sum \delta_x^2}{n}} ; \quad B_y = \sqrt{\frac{\sum \delta_y^2}{n}} ;$

$$B_z = \sqrt{\frac{\sum \delta_z^2}{n}}) .$$

經過推导，可以得出：

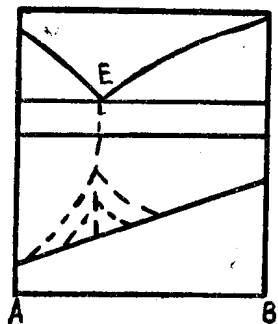


圖10 二元共晶合金成份与硬度的
关系的示意圖